

# 基于双圈图 $GA_2$ 指标的分析

刘晚乔, 赵 飏

(1. 中国国际航空股份有限公司新疆分公司, 新疆 乌鲁木齐 830026)

(2. 新疆大学数学与系统科学学院, 新疆 乌鲁木齐 830046)

[摘要] 设  $G$  是一个具有  $n$  个顶点的简单图, 则图  $G$  的  $GA_2$  指标定义为:  $\sum 2\sqrt{n_u n_v} / (n_u + n_v)$ , 其中  $n(u)(n(v))$  表示图  $G$  中的点到顶点  $u(v)$  的距离小于到顶点  $v(u)$  的距离的点数. 在本文中, 对 3 类双圈图进行图形的变换, 进而分析确定了具有最小  $GA_2$  指标的图.

[关键词]  $GA_2$  指标, 双圈图, 连通图, 悬挂边

[中图分类号] O175 [文献标志码] A [文章编号] 1001-4616(2023)04-0005-06

## Based on Bicyclic Graphs Analysis of Second Geometric-Arithmetic Index

Liu Wanqiao, Zhao Biao

(1. Air China Limited Xinjiang Branch, Urumqi 830046, China)

(2. College of Mathematics and System Sciences, Xinjiang University, Urumqi 830046, China)

**Abstract:** Let  $G = (V, E)$  be a simple graph, the second geometric-arithmetic indices defined as  $\sum 2\sqrt{n_u n_v} / (n_u + n_v)$ , where  $n(u)(n(v))$  of vertices of  $G$  lying closer to the vertex  $u(v)$  than to the vertex  $v(u)$  for the edge  $uv$ . In this paper, we transformed three kinds of bicyclic graphs, analyzed and determined the bicyclic graphs with the minimum  $GA_2$ .

**Key words:** second geometric-arithmetic index, bicyclic graphs, connected graphs, pendant edges

对于分子的描述, 在化学、物理和药理学等方面起着重要的作用<sup>[1]</sup>. 其中, 一个能描述分子图的一些性质的数被称为拓扑指标, 对于分子图的拓扑指标能反应分子的一些物理和化学性质, 所以通过计算分子图的某种拓扑指标的数值, 可以统计出分子的某些物理化学性质. 特别是在 QSPR/QSAR 研究中, 发现了许多拓扑指标在化学中应用广泛<sup>[2-5]</sup>.

设  $G$  是一个简单图, 对于没有说明的术语和概念可参考文献[6-7]. 记图  $G$  的点集为  $V(G)$ , 边集为  $E(G)$ ,  $d_G(u)(d_G(v))$  为图  $G$  中点  $u(v)$  的度数. 则图  $G$  的  $GA$  指标定义如下<sup>[8-9]</sup>:

$$GA(G) = \sum \frac{2\sqrt{d_u d_v}}{d_u + d_v}.$$

令  $e = uv$  是图  $G$  的一条边, 连接点  $uv$ , 则定义:

$$N(e, u, G) = \{x \in V(G) \mid d_G(x, u) < d_G(x, v)\},$$

$$N(e, v, G) = \{x \in V(G) \mid d_G(x, u) > d_G(x, v)\},$$

$u$  的邻点记为  $N_G(u)$ ,  $v$  的邻点记为  $N_G(v)$ <sup>[10]</sup>. 同时

$$n_u(e) = n_u(e, G) = |N(e, u, G)|,$$

$$n_v(e) = n_v(e, G) = |N(e, v, G)|,$$

式中,  $n(u)$  表示图  $G$  中的点到顶点  $u$  的距离小于到顶点  $v$  的距离的数目,  $n(v)$  同理.

2010 年, 文[11]定义了第二类拓扑指标  $GA_2$  指标, 定义如下:

$$GA_2(G) = \sum \frac{2\sqrt{n_u n_v}}{n_u + n_v},$$

同时,确定了完全图中的  $GA_2$  指标上下界,以及树图中具有最小和最大  $GA_2$  指标的树图,分别是星图和路. Tang 等<sup>[12]</sup>在 2011 年巧妙采用了图变换的方法,进一步确定了树图中具有  $GA_2$  指标第二大及第二小的图,同时得出了具有最大  $GA_2$  指标和最小  $GA_2$  指标的单圈图. 本文主要描述了在  $n$  个顶点的双圈图中,利用图形的变换,进而确定具有最小  $GA_2$  指标的图.

## 1 引理

图  $G$  是一个连通双圈图,且有  $n$  个顶点,  $n+1$  条边,下面将双圈图进行了 3 种分类:

- (1) 当  $n \geq 5$  时,圈  $C_m, C_p$  共享一个公共点,见图(a).
- (2) 当  $n \geq 6$  时,圈  $C_m, C_p$  中间连接一条长度大于等于 1 的路,见图(b).
- (3) 当  $n \geq 4$  时,3 条内部不相交的路  $P_1, P_2$  和  $P_3$  具有公共的端点  $u, v$ , 见图(c).

令  $G=(V, E)$  是一个双圈图,其中圈  $C_m$  和圈  $C_p$  的长度分别为  $q$  和  $p$ , 且  $T_1, T_2, \dots, T_k (0 \leq k \leq p+m)$  表示圈上悬挂的树,  $T_1, T_2, \dots, T_k$  为  $G-E(C_m, C_p)$  的非平凡分支. 令  $N(T_i)=l_i, i=1, 2, \dots, k$ , 且  $l=l_1+l_2+\dots+l_k=n-p-q+1$ , 其中  $N(T_i)$  表示为树  $T_i$  点的个数, 记双圈图为  $G=C_G(T_1, T_2, \dots, T_k)$ , 则有下列的引理.

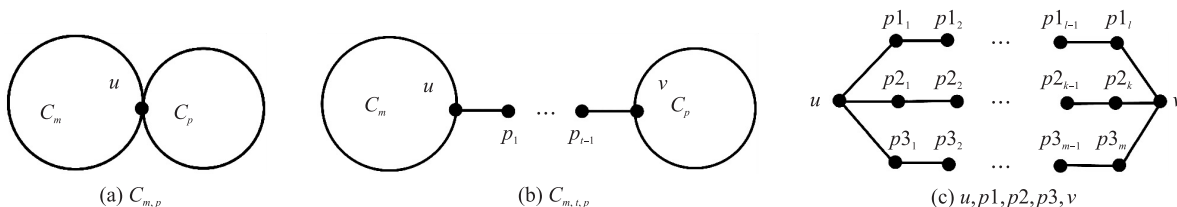


图 1 双圈图主要分类

Fig. 1 Main subgraphs of bicyclic graphs

**引理 1** 若图  $G$  是一个有  $n$  个顶点, 且  $n \geq 4$  的双圈图, 则

$$G_1 = C_G(S_1, S_2, \dots, S_k),$$

$$G_2 = C_G(P_1, P_2, \dots, P_k),$$

双圈图  $G_1$  中,  $u_1, u_2, \dots, u_k$  是圈  $C_m, C_p$  上的点, 且  $S_1, S_2, \dots, S_k$  是点  $u_1, u_2, \dots, u_k$  的悬挂边.

双圈图  $G_2$  中,  $u_1, u_2, \dots, u_k$  是圈  $C_m, C_p$  上的点, 且  $P_1, P_2, \dots, P_k$  是点  $u_1, u_2, \dots, u_k$  的悬挂路,

则可以得到

$$GA_2(G_1) \leq GA_2(G) \leq GA_2(G_2),$$

式中,  $G=C_G(T_1, T_2, \dots, T_k), N(T_i)=l_i (i=1, 2, \dots, k)$ .

为了找到双圈图中具有最小  $GA_2$  指标的图, 只需要考虑有悬挂边的双圈图.

## 2 结果与分析

令  $G_0$  是一个连通图, 且  $N(G_0)=q, C_p=u_1u_2\dots u_pu_1$  是圈长为  $p$  的单圈图,  $N(C_p)=p$ , 且  $S_1, S_2, \dots, S_k (0 \leq k \leq p)$  表示单圈图上的悬挂边, 其中  $S_1, S_2, \dots, S_k$  是  $G-E(G_0, C_p)$  的非平凡分支, 点  $u_1$  是连通图  $G_0$  和单圈图  $C_p$  的公共点, 将这类连通图记作  $C_{G_0}^p(S_1, S_2, \dots, S_k)$ . 特别地, 当  $k=0$  时, 记  $G=C_{G_0}^p$ , 如果当  $k=1$  时, 记  $C_{G_0}^p(S_1)$ . 其中记  $N(S_i)=l_i, i=1, 2, \dots, k$  且  $l=l_1+l_2+\dots+l_k=n-p-q+1$ . 接下来, 令  $G_1=C_{G_0}^p(S_1, S_2, \dots, S_k)$ , 点  $u_1, u_i \in C_p$ , 且  $d_{G_1}(u_1) \geq 3, d_{G_1}(u_i) \geq 3 (2 \leq i \leq k)$  单圈图  $C_p$  上的点  $u_i$  有悬挂边  $S_i$ , 现将点  $u_i$  的悬挂边  $S_i$ , 移到公共点  $u_1$  上, 则得到图  $G_i$ , 称图  $G_i$  是由  $G_1$  变换而得的, 见图 2.

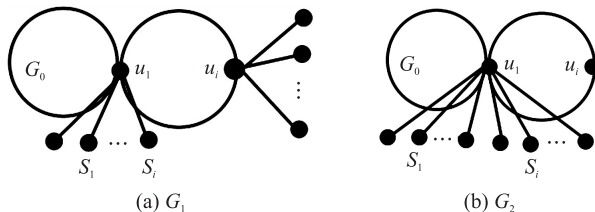


图 2 图  $G_1$  变换到图  $G_i$

Fig. 2  $G_i$  transform of  $G_1$

**定理 1** 若图  $G_1=C_{G_0}^p(S_1, S_2, \dots, S_k)$  是一个连通图, 且  $d_{G_1}(u_1) \geq 3, d_{G_1}(u_i) = 2+S_i, G_i$  是由  $G_1$  变换而得的图, 则得  $GA_2(G_1) \geq GA_2(G_i)$ .

**证明** 将  $E(G_1)$  里的边分成七部分, 其表示为:

- (1)  $E_1 = \{e=uv \in G_i \mid \deg_{G_i}(v)=1, \deg_{G_i}(u) \geq 3\}$ ;

- (2)  $E_2 = \{e=uv \in C_p \mid d(u, u_1) < d(v, u_1), d(u, u_i) < d(v, u_i)\};$   
 (3)  $E_3 = \{e=uv \in C_p \mid d(u, u_1) > d(v, u_1), d(u, u_i) > d(v, u_i)\};$   
 (4)  $E_4 = \{e=uv \in C_p \mid d(u, u_1) < d(v, u_1), d(u, u_i) > d(v, u_i)\};$   
 (5)  $E_5 = \{e=uv \in C_p \mid d(u, u_1) > d(v, u_1), d(u, u_i) < d(v, u_i)\};$   
 (6)  $E_6 = \{e=uv \in C_p \mid d(u, u_1) > d(v, u_1), d(u, u_i) = d(v, u_i), d(u, u_1) = d(v, u_1), d(u, u_i) > d(v, u_i)\};$   
 (7)  $E_7 = \{e=uv \in C_p \mid d(u, u_1) < d(v, u_1), d(u, u_i) = d(v, u_i), d(u, u_1) = d(v, u_1), d(u, u_i) < d(v, u_i)\};$   
 根据  $GA_2$  的定义,可以得到

$$GA_2(G_1) = \sum_{i=1}^7 \sum_{uv \in E_i} \frac{\sqrt{n_u(e, G_1) \cdot n_v(e, G_1)}}{\frac{1}{2}(n_u(e, G_1) + n_v(e, G_1))}.$$

将点  $u_i (i=2, 3, \dots, k)$  上的悬挂边移到点  $u_1$  上, 图  $G_i$  是由图  $G_1 (2 \leq i \leq k)$  变换而得的, 其中  $n'_u(e) (n'_v(e))$  是变换图  $G_i$  的点  $u (v)$  到边  $e=uv$  的顶点  $u (v)$  距离比到顶点  $v (u)$  距离小的顶点数, 则有 当边  $uv \in E_j$  时

$$\frac{\sqrt{n_u(e, G_1) \cdot n_v(e, G_1)}}{\frac{1}{2}(n_u(e, G_1) + n_v(e, G_1))} = \frac{\sqrt{n_u(e, G_i) \cdot n_v(e, G_i)}}{\frac{1}{2}(n_u(e, G_i) + n_v(e, G_i))}. \quad (1)$$

当边  $uv \in E_4$  时

$$n'_u(e) = n_u(e) + S_i, n'_v(e) = n_v(e) - S_i.$$

所以, 当边  $e \in E_4$ , 可以得到,

$$\frac{\sqrt{n_u(e, G_1) \cdot n_v(e, G_1)}}{\frac{1}{2}(n_u(e, G_1) + n_v(e, G_1))} \geq \frac{\sqrt{n'_u(e, G_i) \cdot n'_v(e, G_i)}}{\frac{1}{2}(n'_u(e, G_i) + n'_v(e, G_i))}. \quad (2)$$

同样对于边  $uv \in E_5$  可以得到在图  $G_i$  中,

$$n'_u(e) = n_u(e) - S_i, n'_v(e) = n_v(e) + S_i.$$

当边  $e \in E_5$ , 则有

$$\frac{\sqrt{n_u(e, G_1) \cdot n_v(e, G_1)}}{\frac{1}{2}(n_u(e, G_1) + n_v(e, G_1))} \geq \frac{\sqrt{n'_u(e, G_i) \cdot n'_v(e, G_i)}}{\frac{1}{2}(n'_u(e, G_i) + n'_v(e, G_i))}. \quad (3)$$

对于连通图  $G_i$ , 单圈图  $C_p$  的圈长  $p$  为奇数时, 所有的边  $e \in E_j (1 \leq j \leq 5)$ . 由式(1-3)可得,

$$GA_2(G_1) \geq GA_2(G_i).$$

当圈  $C_p$  的长度为偶数时, 接下来考虑, 当边  $uv \in E_6$  时, 则有

$$n'_v(e) = n_v(e) + S_i.$$

所以, 当边  $e \in E_6$ , 则有

$$\frac{\sqrt{n_u(e, G_1) \cdot n_v(e, G_1)}}{\frac{1}{2}(n_u(e, G_1) + n_v(e, G_1))} \geq \frac{\sqrt{n'_u(e, G_i) \cdot n'_v(e, G_i)}}{\frac{1}{2}(n'_u(e, G_i) + n'_v(e, G_i))}. \quad (4)$$

当边  $uv \in E_7$  时, 则有

$$n'_u(e) = n_u(e) - S_i.$$

所以, 当边  $e \in E_7$ , 则有

$$\frac{\sqrt{n_u(e, G_1) \cdot n_v(e, G_1)}}{\frac{1}{2}(n_u(e, G_1) + n_v(e, G_1))} \leq \frac{\sqrt{n'_u(e, G_i) \cdot n'_v(e, G_i)}}{\frac{1}{2}(n'_u(e, G_i) + n'_v(e, G_i))}. \quad (5)$$

由式(1)-(5)可得

$$\sum_{i=1}^6 \sum_{uv \in E_i} \frac{\sqrt{n'_u(e, G_1) \cdot n'_v(e, G_1)}}{\frac{1}{2}(n'_u(e, G_1) + n'_v(e, G_1))} \geq \sum_{uv \in E_7} \frac{\sqrt{n'_u(e, G_1) \cdot n'_v(e, G_1)}}{\frac{1}{2}(n'_u(e, G_1) + n'_v(e, G_1))}.$$

综上所述,在连通图  $G_1 = C_{G_0}^{C_p}(S_1, S_2, \dots, S_k)$  中,  $d_{G_1}(u_1) \geq 3 + S_1$ ,  $d_{G_1}(u_i) = 2 + S_i (2 \leq i \leq k)$ .

由图  $G_1$  转换的图  $G_i$  可以得到  $GA_2(G_1) \geq GA_2(G_i)$ .

**定理 2** 若图  $G_k = C_{G_0}^{C_p}(S_{n-p-q+1})$  是有  $n$  个顶点,且  $n \geq 4$  的连通图(图 3),则  $GA_2(G) \geq GA_2(C_{G_0}^{C_3}(S_{n-q-2}))$ .

**证明** 由定理 1 可以得一系列图  $G_i (1 \leq i \leq k)$ , 并且有  $GA_2(G_k) \leq \dots \leq GA_2(G_2) \leq GA_2(G_1)$ , 其  $G_k = C_{G_0}^{C_p}(S_{n-p-q+1})$ .

通过计算:

$$GA_2(G) = GA_2(C_{G_0}^{C_p}(S_{n-p-q+1})) = GA_2(C_{G_0}) + \frac{4t\sqrt{(q+t+d-1) \cdot t}}{2t+q+d-1} + \frac{2d\sqrt{n-1}}{n} + k.$$

式中,  $t = \lfloor p/2 \rfloor, k = p - 2t, d = n - q - p + 1$ .

当  $p = 2t (t \geq 2)$  时,

$$\begin{aligned} GA_2(C_{G_0}^{C_p}(S_{n-p-q+1})) - GA_2(C_{G_0}^{C_{p-2}}(S_{n-p-q+3})) &= GA_2(C_{G_0}) + \frac{4t\sqrt{(q+t+d-1) \cdot t}}{2t+q+d-1} + \frac{2d\sqrt{n-1}}{n} - \\ &\quad (GA_2(C_{G_0}) + \frac{4(t-1)\sqrt{(q+t+d) \cdot (t-1)}}{2t+q+d-1} + \frac{2(d+2)\sqrt{n-1}}{n}) > 0. \end{aligned} \quad (6)$$

当  $p = 2t + 1 (t \geq 1)$  时,

$$\begin{aligned} GA_2(C_{G_0}^{C_p}(S_{n-p-q+1})) - GA_2(C_{G_0}^{C_{p-2}}(S_{n-p-q+3})) &= GA_2(C_{G_0}) + \frac{4t\sqrt{(q+t+d-1) \cdot t}}{2t+q+d-1} + \frac{2d\sqrt{n-1}}{n} + k - \\ &\quad (GA_2(C_{G_0}) + \frac{4(t-1)\sqrt{(q+t+d) \cdot (t-1)}}{2t+q+d-1} + \frac{2(d+2)\sqrt{n-1}}{n} + k) > 0. \end{aligned} \quad (7)$$

根据式(6)-(7)可得,当  $p$  为偶数时,则  $p = 4$  图  $C_{G_0}^{C_p}(S_{n-p-q+1})$  为最小,当  $p$  为奇数时,则  $p = 3$  图  $C_{G_0}^{C_p}(S_{n-p-q+1})$  为最小,继续研究图  $C_{G_0}^{C_p}(S_{n-p-q+1})$  的最小.

当  $p = 4$  和  $p = 3$  时

$$\begin{aligned} GA_2(C_{G_0}^{C_4}(S_{n-3-q})) - GA_2(C_{G_0}^{C_3}(S_{n-2-q})) &= (GA_2(C_{G_0}) + \frac{8\sqrt{2(n-2)}}{n} + \frac{2(n-q-3)\sqrt{n-1}}{n}) - \\ &\quad (GA_2(C_{G_0}) + \frac{4\sqrt{n-2}}{n-1} + \frac{2(n-q-2)\sqrt{n-1}}{n} + 1) = \frac{8\sqrt{2(n-2)}}{n} - \frac{2\sqrt{n-1}}{n} - \frac{4\sqrt{n-2}}{n-1} - 1 > 0. \end{aligned} \quad (8)$$

由式(8),得出连通图  $G$  中具有最小  $GA_2$  指标的图是  $C_{G_0}^{C_3}(S_{n-q-2})$ .

## 2.1 双圈图类型 I

若连通图  $G_0 = C_m(S'_1, S'_2, \dots, S'_l)$  是一个单圈图,其中  $C_m = v_1 v_2 \dots v_m v_1$  圈长为  $m, S'_i (0 \leq i \leq m)$  是  $v_i$  的悬挂边,  $C_p = u_1 u_2 \dots u_p u_1$  圈长为  $p, S_i (0 \leq i \leq p)$  是  $u_i$  的悬挂边.  $u_1(v_1)$  是圈  $C_p$  与  $C_m$  的公共点,则记这类双圈图为  $G = C_{S_1, S_2, \dots, S_k}^{S'_1, S'_2, \dots, S'_l}(u_1)$ , 针对这类双圈图得到下面定理.

**定理 3** 图  $G = C_{S_1, S_2, \dots, S_k}^{S'_1, S'_2, \dots, S'_l}(u_1)$  是有  $n$  个顶点,且  $n \geq 5$  的双圈图(图[4]),则得到  $GA_2(G) \geq GA_2(C_{S_{n-5}, 0, 0}^{S_{n-5}, 0, 0}(u_1))$ .

**证明** 将圈  $C_m$  和圈  $C_p$  上的悬挂边移动到公共点  $u_1$ ,则由定理 1 可得,  $GA_2(G) \geq GA_2(C_{S_{n-5}, 0, \dots, 0}^{S_{n-5}, 0, \dots, 0}(u_1))$ . 再将圈  $C_m$  和圈  $C_p$  上的边移到公共点  $u_1$ ,变成悬挂边,当圈  $C_m$  和圈  $C_p$  的长度一直变小,则由定理 2 可得,当圈长  $p = 3$  和  $m = 3$  时,图  $G = C_{S_{n-5}, 0, 0}^{S_{n-5}, 0, 0}(u_1)$  的  $GA_2$  指标达到最小,则

$$GA_2(C_{S_{n-5}, 0, 0}^{S_{n-5}, 0, 0}(u_1)) = \frac{8\sqrt{n-2}}{n-1} + \frac{2(n-5)\sqrt{n-1}}{n} + 2.$$

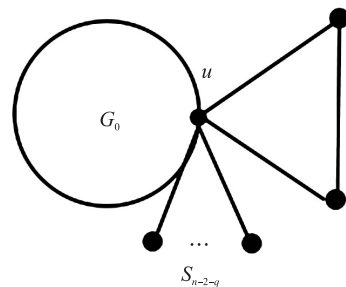


图 3 图  $C_{G_0}^{C_3}(S_{n-2-q})$

Fig. 3 The graph of  $C_{G_0}^{C_3}(S_{n-2-q})$

## 2.2 双圈图类型 II

将  $P_i = p_1 p_2 \cdots p_i$  长度为  $t+1$  的路连接圈  $C_m$  和  $C_p$  的路,且连接点为  $v_1$  和  $u_1$ . 其中  $T_i (0 \leq i \leq t)$  是点  $p_i$  的悬挂边,则记这类双圈图为  $G = C_{S_1, S_2, \dots, S_k}^{S'_1, S'_2, \dots, S'_l} (T_1, T_2, \dots, T_l)$ . 将这类双圈图圈  $C_m$  和圈  $C_p$  上的悬挂边移动到连接点为  $v_1$  和  $u_1$  上,再缩短圈  $C_m$  和圈  $C_p$  的圈长,则圈  $C_m$  上的边和圈  $C_p$  的边变为  $v_1$  和  $u_1$  上的悬挂边,同样由定理 1 和定理 2 可以得到

$$GA_2(G) \geq GA_2(C_{d_1, 0, 0}^{d_2, 0, 0}(T_1, T_2, \dots, T_l)),$$

$$\text{式中, } d_1 = \sum_{i=1}^k S_i, d_2 = \sum_{i=1}^l S'_i.$$

**定理 4** 若图  $G'_0 = C_{d_1, 0, 0}^{d_2, 0, 0}(T_1, T_2, \dots, T_l)$  是有  $n$  个顶点,且  $n \geq 6$  的双圈图(见图 5),则

$$GA_2(G'_0) \geq GA_2(C_{d_1+l, 0, 0}^{d_2, 0, 0}(u_1, v_1)),$$

$$\text{式中, } l = \sum_{i=1}^l T_i.$$

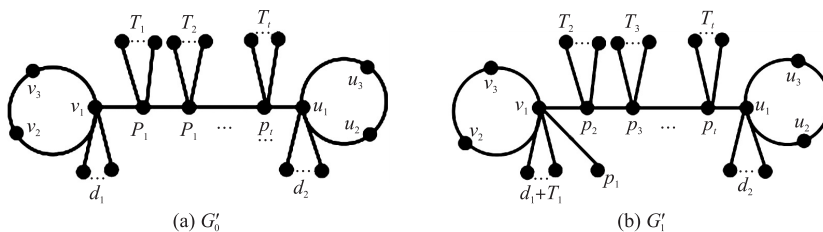


图 5 图  $G'_0$  变换到图  $G'_1$

Fig. 5  $G'_0$  transform of  $G'_1$

**证明** 先将悬挂边  $T_1$  以及边  $e(v_1, p_1)$  移动到端点  $v_1$ , 则  $n'_v(e) = n_v(e) + n, n'_{p_1}(e) = n_{p_1}(e) - n = 1$ , 即

$$\frac{\sqrt{n_u(e, G'_0) \cdot n_v(e, G'_0)}}{\frac{1}{2}(n_u(e, G'_0) + n_v(e, G'_0))} \geq \frac{\sqrt{n'_u(e, G'_1) \cdot n'_v(e, G'_1)}}{\frac{1}{2}(n'_u(e, G'_1) + n'_v(e, G'_1))}. \quad (9)$$

对于边  $uv \in E(G'_0 - e(v_1, p_1))$ ,  $u'v' \in E(G'_1 - e(v_1, p_1))$ , 可得

$$\frac{\sqrt{n_u(e, G'_0) \cdot n_v(e, G'_0)}}{\frac{1}{2}(n_u(e, G'_0) + n_v(e, G'_0))} = \frac{\sqrt{n'_u(e, G'_1) \cdot n'_v(e, G'_1)}}{\frac{1}{2}(n'_u(e, G'_1) + n'_v(e, G'_1))}. \quad (10)$$

则

$$\sum_{uv \in G'_0} \frac{\sqrt{n_u(e, G'_0) \cdot n_v(e, G'_0)}}{\frac{1}{2}(n_u(e, G'_0) + n_v(e, G'_0))} \geq \sum_{uv \in G'_1} \frac{\sqrt{n'_u(e, G'_1) \cdot n'_v(e, G'_1)}}{\frac{1}{2}(n'_u(e, G'_1) + n'_v(e, G'_1))}.$$

由式(9)-(10)可得:  $GA_2(G'_0) \geq GA_2(G'_1)$ .

同理可依次将路  $P_i$  上的悬挂边  $T_i$  及边  $e(p_{i-1}, p_i)$  移动到端点  $v_1$ , 可得出一系列图  $G'_i, 2 \leq i \leq t$ , 图  $G'_i$  是由  $G'_0$  变换得到, 则

$$GA_2(G'_0) \geq GA_2(G'_1) \cdots \geq GA_2(G'_t) = GA_2(C_{d_1+l, 0, 0}^{d_2, 0, 0}(u_1, v_1)).$$

最后, 将连接点  $u_1$  上的悬挂边  $d_2$  移动到点  $v_1$ , 则得到双圈图类型 II 中具有最小  $GA_2$  指标的图  $C_{S, 0, 0}^{C_3}(u_1, v_1)$ , 其  $GA_2$  指标为

$$GA_2(C_{S, 0, 0}^{C_3}(u_1, v_1)) = \frac{8\sqrt{n-2}}{n-1} + \frac{2\sqrt{3(n-3)}}{n} + \frac{2(n-6)\sqrt{n-1}}{n} + 2.$$

式中,  $S = d_1 + d_2 + l + t$ .

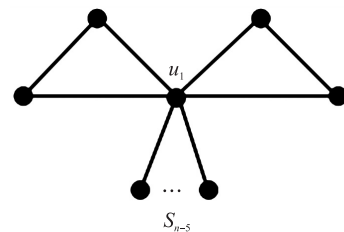


图 4 双圈图类型 I 图  $C_{S_{n-5}, 0, 0}^{S_{n-5}, 0, 0}(u_1)$

Fig. 4 The main subgraphs of bicyclic graphs is of type I  $C_{S_{n-5}, 0, 0}^{S_{n-5}, 0, 0}(u_1)$

### 2.3 双圈图类型 III

图  $G=(V,E)$  中有两个点  $u$  和  $v$ , 且以这两个点作为路  $P_1=up_{1_1}p_{1_2}\cdots p_{1_l}v$ ,  $P_2=up_{2_1}p_{2_2}\cdots p_{2_k}v$ , 和  $P_3=up_{3_1}p_{3_2}\cdots p_{3_m}v$  的公共端点,  $N(P_i)$  ( $i\leq 3$ ) 表示路  $P_i$  上的顶点数, 其中  $N(P_i)\geq 1$ .  $S_i$  是  $p_{1_i}$  ( $1\leq l$ ) 的悬挂边,  $S'_j$  是  $p_{2_j}$  ( $1\leq k$ ) 的悬挂边, 以及  $S''_i$  是  $p_{3_i}$  ( $1\leq m$ ) 的悬挂边, 这类双圈图记作  $G''_1=C_{S_1,S_2,\dots,S_l}^{S''_1,S''_2,\dots,S''_m}(S'_1,S'_2,\dots,S'_k)$ . 将所有的悬挂边依次移动到点  $u$ , 则得到一系列的图  $G''_2, G''_3, \dots, G''_m$ .

**定理 5** 若图  $G''_1=C_{S_1,S_2,\dots,S_l}^{S''_1,S''_2,\dots,S''_m}(S'_1,S'_2,\dots,S'_k)$  是有  $n$  个顶点, 且  $n\geq 4$  的双圈图, 其中  $G''_i$  是由  $G''_1$  变化而得的, 则

$$G''_1\geq G''_2\geq\cdots\geq G''_m,$$

$$\text{式中}, d_3=\sum_{i=1}^l S_i+\sum_{i=1}^k S'_i+\sum_{i=1}^m S''_i.$$

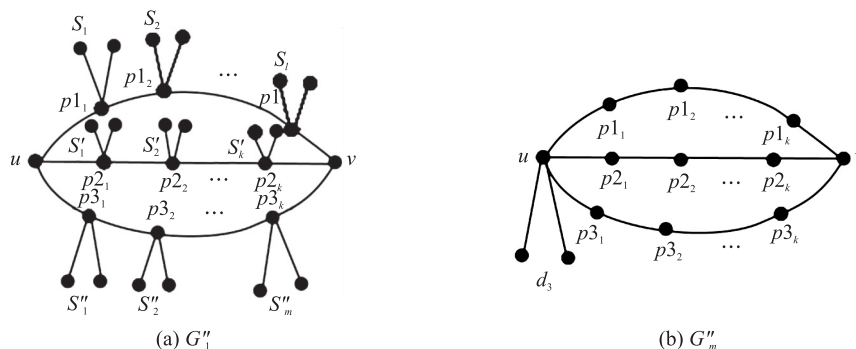


图 6 图  $G''_1$  变换到图  $G''_m$

Fig. 6  $G''_1$  transform of  $G''_m$

**证明** 由定理 1 可得, 将  $G''_i$  ( $1\leq i\leq m$ ) 的边  $E(G''_i)$  进行 7 个分类, 则经过相同的证明, 得到相应的结论, 即  $G''_1\geq G''_2\geq\cdots G''_m$ , 记图  $G''_m=C_m^u(d_3)$ , 其中  $m$  表示 3 条路上所有点的个数, 并且有  $d_3$  条悬挂边在点  $u$  上.

**定理 6** 若图  $G''_m=C_m^u(d_2)$  是有  $n$  个顶点, 且  $n\geq 4$  的双圈图 (见图 7), 则

$$GA_2(G)\geq GA_2(C_4^u(S_{n-4})).$$

**证明** 将图  $G''_m=C_m^u(d_2)$  路上的边, 依次移动到点  $u$  上, 变成点  $u$  的悬挂边, 最后将图  $G''_m$  变成有 4 个点的双圈图, 且点  $u$  上有  $S_{n-4}$  条悬挂边的图  $C_4^u(S_{n-4})$ , 则双圈图类型 III 中具有最小  $GA_2$  指标的图  $C_4^u(S_{n-4})$ , 其  $GA_2$  指标为

$$GA_2(C_4^u(S_{n-4}))=\frac{4\sqrt{n-2}}{n-1}+\frac{2\sqrt{n-3}}{n-2}+\frac{4\sqrt{2}}{3}+\frac{2(n-4)\sqrt{n-1}}{n}.$$

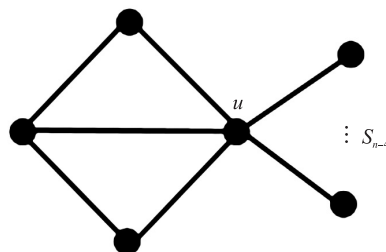


图 7 双圈图类型 III 图  $C_4^u(S_{n-4})$

Fig. 7 The main subgraphs of bicyclic graphs is of type III  $C_4^u(S_{n-4})$

## 3 结论

本文研究连通图  $C_{G_0}^p(S_1, S_2, \dots, S_k)$ , 先经过移动悬挂边, 再缩圈, 得到一类连通图  $C_{G_0}^c(S_{n-q-2})$ . 依照相同做法, 对 3 种类型的双圈图经过边的移动, 得到双圈图类型 I 中具有最小  $GA_2$  指标的图为  $C_{S_{n-5}, 0, 0}$ , 双圈图类型 II 中具有最小  $GA_2$  指标的图  $C_{S_{n-4}, 0}^c(u_1, v_1)$ , 双圈图类型 III 中具有最小  $GA_2$  指标的图  $C_4^u(S_{n-4})$ ,

最后对 3 种类型的双圈图进行对比分析, 得到具有最小  $GA_2$  的双圈图为  $(C_4^u(S_{n-4}))$ .

### [参考文献]

- [1] TODESCHIIHI R C V, NONE. Handbook of molecular descriptors[M]. New York: Wiley-vch Verlag GmbH, 2000.
- [2] WIENER H. Structural determination of paraffin boiling points[J]. Journal of the American Chemical Society, 1947, 69: 17-20.

(下转第 16 页)

$$\text{sun}(L-X) = 2r-1 > 2|X| - \varepsilon_2(X) = 2r-2.$$

通过引理 2,  $L$  不是  $P_{\geq 3}$ -因子覆盖的. 因此  $G$  不是  $(P_{\geq 3}, k)$ -因子临界覆盖的.

### [参考文献]

- [1] BONDY J A, MURTY U S R. Graph Theory[M]. Graduate Texts in Mathematics, London: Springer-Verlag, 2008.
- [2] ZHOU S Z, SUN Z R. Some existence theorems on path factors with given properties in graphs[J]. Acta mathematica sinica, English series, 2020, 36(8): 917–928.
- [3] AKIYAMA J, AVIS D, ERA H. On a  $\{1, 2\}$ -factor of a graph[J]. Tru mathematics, 1980, 16: 97–102.
- [4] KANEKO A. A necessary and sufficient condition for the existence of a path factor every component of which is a path of length at least two[J]. Journal of combinatorial theory, series B, 2003, 88: 195–218.
- [5] ZHANG H P, ZHOU S. Characterizations for  $P_{\geq 2}$ -factor and  $P_{\geq 3}$ -factor covered graphs[J]. Discrete mathematics, 2009, 309: 2067–2076.
- [6] ZHOU S Z. Binding numbers and restricted fractional  $(g, f)$ -factors in graphs[J]. Discrete applied mathematics, 2021, 305: 350–356.
- [7] ZHOU S Z, BIAN Q X, PAN Q R. Path factors in subgraphs[J]. Discrete applied mathematics, 2022, 319: 183–191.
- [8] ZHOU S Z, LIU H X, XU Y. A note on fractional ID- $[a, b]$ -factor-critical covered graphs[J]. Discrete applied mathematics, 2022, 319: 511–516.
- [9] ZHOU S Z, WU J C, BIAN Q X. On path-factor critical deleted(or covered) graphs[J]. Aequationes mathematicae, 2022, 96: 795–802.
- [10] GAO W, WANG W F. Tight binding number bound for  $P_{\geq 3}$ -factor uniform graphs[J]. Information processing letters, 2021, 172, 106162.

[责任编辑: 陆炳新]

(上接第 10 页)

- [3] HOSOYA H, TOPOLOGICAL I. A newly proposed quantity characterizing the topological nature of structural isomers of saturated hydrocarbons[J]. Bulletin of the Chemical Society of Japan, 1971, 4: 2332–2339.
- [4] DAS C, GUTMAN I. Estimating the Szeged index[J]. Applied mathematics letters, 2009, 16: 1680–1684.
- [5] LIU B, GUTMAN I. On a conjecture on Randić' indices[J]. Match communications in mathematical in computer chemistry, 2009, 62: 143–154.
- [6] WU B Y D R, MENG J X. Basic properties of total transformation graphs[J]. Journal of mathematical study, 2001, 34: 109–116.
- [7] BONDY J A, MURTY U S R. Graph theory with applications[M]. New York: The Macmillan Press, 1976.
- [8] VUKIC'EVIC' D, FURTULA B. Topological index based on the ratios of geometrical and arithmetical means of end-vertex degrees of edges[J]. Journal of mathematical chemistry, 2009, 46(4): 1369–1376.
- [9] YUAN Y, ZHOU B, NENAD T. On geometric-arithmetic index[J]. Journal of mathematical chemistry, 2010, 47(2): 833–841.
- [10] LI Y P, WU B Y D R. Total Transformation Graphs  $G(xyz)$ [J]. Journal of Xinjiang University(natural science edition), 2021(1): 1–24.
- [11] FATH-TABAR G, FURTULA B, GUTMAN I. A new geometric-arithmetic index[J]. Journal of mathematical chemistry, 2010, 47: 477–486.
- [12] TANG Z, HOU Y. Note on the second geometric-arithmetic index[J]. Match communications in mathematical in computer chemistry, 2011, 65(3): 705–712.

[责任编辑: 陆炳新]